

заболеваниях, индивидуальной непереносимости, анемии, гемофилии, ярко выраженной гипотонии и железодицитной анемии, беременности.

Выводы

На основании современных представлений гирудотерапия оказывает на организм человека антикоагулирующее, противотромбическое, тромболитическое, гипотензивное, регенерирующее, противовоспалительное, иммуно-стимулирующее, бактерицидное, бактериостатическое, болеутоляющее действие, повышает сопротивляемость организма инфекции, усиливает лимфо- и кровоснабжение, увеличивает микроциркуляцию. В природе, пожалуй, нет ещё такого метода с таким многообразным действием как гирудотерапия. Противовоспалительное действие гирудотерапии настолько эффективное, что не уступает таковому кортикостероидным препаратам.

Применение её в стоматологии даёт хорошие результаты и может быть рекомендована для широкого внедрения в практику.

Библиография

1. Бондарев В.Т., Житнев В.М. *Гирудотерапия при ургентной патологии органов зрения на опыте работы специализированного офтальмологического учреждения.* Гирудотерапия и гиурдофармакология: Материалы Второй конференции Федерации государств. М., 1992.
2. Гирудотерапия. Методические рекомендации для практических врачей. М. МЗ СССР, 1990.
3. Кушнир А.С., Кырлиг В.А., Тритиченко И.А., Тритиченко В.А. *Гирудотерапия.* Методические рекомендации для врачей-стоматологов и резидентов стоматологического факультета. Кишинёв, 2004.
4. Никонов Г.И. *Медицинские пиявки. Основы гирудотерапии.* - С.-Петербург, 1992.

MODELAREA PARODONTITEI EXPERIMENTALE, ADMINISTRAREA COMPUSILOR ZINCULUI SI EVALUAREA PROCESELOR REGENERARII IN TESUTURILE PARODONTALE, HEPATICE SI SPLINEI

Gh. Granciuc

Catedra Protetica dentara si ortodontie

Summary

The parodontits experimental shaping at the administration of Zn compounds and evaluation of regenerative processes in paradontal, liver and spleen tissues.

There were researched by biochemical metods 28 white rats with induced parodontits.

Rezumat

Modelarea parodontitei experimentale la administrarea compusilor zincului a fost efectuata pe un grup de 28 sobolani. A fost studiat biochimic infleuenta compusilor asupra tesuturilor parodontale, hepatice si splinei.

Scopul lucrarii

Estimarea complexa a influentei aductului trifluoracetatului de Zinc cu γ -picolina la procesele regenerative in tesuturile parodontale, hepatice si splinei la sobolanii cu parodontita experimentală.

Materiale si metode

Influenta compusului coordinativ al zincului - $Zn(CF_3CO_2)_2(\gamma Pic)_2$ asupra proceselor regenerative din tesuturile parodontale, in cazul parodontitei experimentale, a fost cercetata pe 28 sobolani albi, impartiti egal in urmatoarele grupe: martor (lotul 1), parodontita (lotul 2), parodontita + $ZnSO_4 \cdot 7H_2O$ (lotul 3), parodontita + $Zn(CF_3CO_2)_2(\gamma Pic)_2$ (lotul 4). Parodontita a

fost modelata prin acidoză metabolică după Pahomova V. s.a. (1988). Compusii zincului-ZnSO₄ 7H₂O și Zn(CF₃CO₂)₂(γPic)₂ au fost administrati peste o zi subcutanat, folosind doza de substanță care continea 1,0 mg Zn / 100 g masa corp. Peste 43 zile sobolanii au fost sacrificati. Indicii atrofiei apofizelor alveolare au fost determinati după metoda Дрогобецкий (1972), modificarea noastră. Modificările propuse de noi permit de a mari exactitudinea și veridicitatea determinării indicilor atrofiei apofizelor alveolare. Parodontitele experimentale de obicei se modelează prin administrarea unor diete speciale. Aceste diete acionează nu numai asupra țesuturilor care înconjoară dintele, dar și asupra întregului organism. Din aceste considerente, noi am studiat decurgerea proceselor metabolice în ficat și splina.

Rezultatele obtinute

Aprecierea gradului și indicii de atrofie a apofizelor alveolare la sobolanii cu parodontita experimentală

In tabelul 1 au fost incluse datele cercetării acțiunii compusilor zincului ZnSO₄ 7H₂O și Zn(CF₃CO₂)₂(γPic)₂ asupra gradului de atrofie a apofizelor alveolare la sobolanii cu parodontita experimentală, care este exprimat prin indicii intensității și raspindirii atrofiei apofizelor alveolare.

Tabelul 1

	Indicii atrofiei	
Grupe de sobolani	Raspindirea	Intensitatea
Martor	0.7143 ± 0.074	0.3952 ± 0.058
Parodontita	0.9143 ± 0.04	0.5762 ± 0.063
	p<0.05	p>0.05 (t=2.11)
Parodontita+ZnSO ₄ 7H ₂ O	0.8857 ± 0.04	0.5619 ± 0.036
	p>0.05	p<0.05
Parodontita+Zn(CF ₃ CO ₂) ₂ (γPic) ₂	0.8286 ± 0.068	0.4429 ± 0.042
	p ₁ >0.05	p ₁ >0.05
	p ₂ >0.05	p ₂ >0.05 (t=2.14)

Cele mai pronunțate manifestări patologice ale parodontitei s-au depistat la sobolanii carora li s-a modelat parodontita experimentală. La această grupă de sobolani au fost depistate depunerile dentare, inflamația gingiei, mobilitatea unor molari. Cu agitorul sondei stomatologice au fost determinate pungi gingivale și parodontale. În grupa data a avut loc sporirea veridica a indicelui raspindirii și tendința accentuată de creștere a intensității atrofiei apofizelor alveolare până la valorile 0,9143 (p<0,05) și 0,5762 respectiv, față de martor. Sulfatul de zinc s-a dovedit a fi puțin eficient la tratarea parodontitei experimentale, indicii raspindirii și intensității fiind de respectiv 0,8857 (p>0,05) și 0,5619 (p<0,05) în lotul dat. Administrarea aductului trifluoracetatului de zinc cu - picolina a contribuit la stoparea progresării gradului de atrofie a apofizelor alveolare față de sobolanii ce constituie loturile 2 și 3 de studiu. Aceasta s-a manifestat prin scăderea indicelui de raspindire (0,8286) și tendința manifestă de micșorare a indicelui intensității atrofiei apofizelor alveolare (0,4429) în lotul 4. Cercetările radiologice (fig. 1) au permis de a aprecia localizarea, caracterul și gradul de manifestare al schimbărilor din țesutul osos alveolar al sobolanilor grupelor de studiu. Pe fiecare pelicula este prezenta imaginea tuturor dintilor și țesuturilor osoase ale unei jumătăți de mandibulă. Dintii unei jumătăți de mandibulă includ 3 molari și 1 inciziv masiv, radacina căreia este amplasată de lungul corpului mandibulei. Analiza radiogramelor a demonstrat modificări destructive ale țesutului osos caracteristice parodontitei: rezorbția placii compacte de la nivelul septului interdentar, dereglerarea structurii clare a virvurilor septului interdentar, destrucția țesutului osos, care are loc numai la nivelul alveolar al mandibulei, fără a se extinde asupra altor zone ale maxilarului. Pe radiografii se constată astfel tipuri de rezorbție ca orizontală și verticală. Aceste modificări destructive ale

țesutului osos sint o consecinta a procesului inflamator și au fost diferite în dependenta de grupa cercetata. Pe roentgenograme observam, ca pentru grupa parodontita (pelicula 2) a fost caracteristica sporirea numarului de sectoare a apofizelor alveolare cu atrofie pronuntata, fata de grupul artor. Radiograma 3 din figura 11 este caracteristica lotului 3 și demonstreaza o stare a țesuturilor ce inconjoara dintele, aproape similara cu grupa precedenta. La sobolanii cu parodontita experimentală, carora li s-a administrat compusul $Zn(CF_3CO_2)_2(\gamma Pic)_2$ (radiograma 4) observam un numar mai mic de sectoare a apofizelor alveolare cu atrofie, fata de loturile 2 și 3 de sobolani.

Evaluarea activitatii enzimelor in țesuturile parodontale hepatici si a splinei la sobolani cu parodontita experimentală

Am cercetat efectul aductului trifluoracetatului de zinc cu - picolina asupra reperelor de protectie a organismului fata de agresiunea chimica exogena, prezenta în cazul modelarii parodontitei experimentale. Cercetarea a inclus posibilul efect al compusului mentionat al zincului în ameliorarea starii functionale a parodontului, și a altor țesuturi la sobolanii carora li s-a modelat parodontita experimentală.

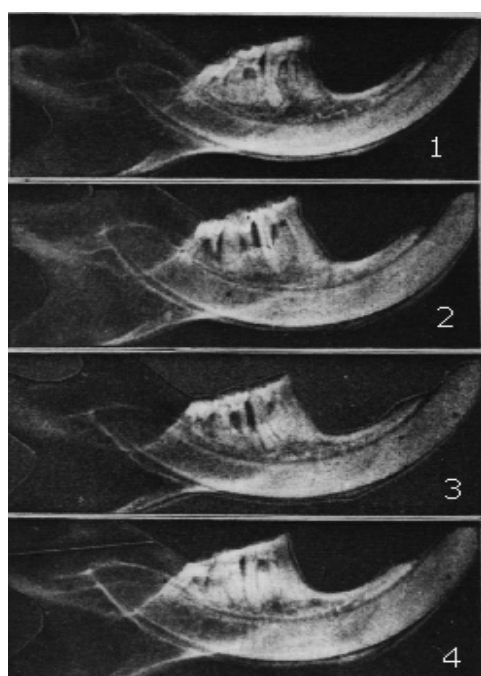


Fig 1. Radiogramele mandibilelor sobolanilor din grupele : 1-martor ; 2-parodontita ; 3-parodontita+ $ZnSO_4 \cdot 7H_2O$; 4- parodontita+ $Zn(CF_3CO_2)_2(\gamma Pic)_2$.

Studiul starii functionale a țesuturilor cercetate a inclus activitatea enzimelor lizosomale, indicii metabolismului nucleotidelor adenilice, activitatea dehidrogenazelor. În tabelul 3. s-au prezentat datele despre influenta compusului $Zn(CF_3CO_2)_2(\gamma Pic)_2$ asupra metabolismului țesuturilor parodontale la sobolanii cu parodontita experimentală. Rezultatele denota, ca prin actiunea clorurei de amoniu, în țesuturile parodontale a sobolanilor se modifica pronuntat activitatea principalelor enzime, ce au fost studiate, aceasta ctivitate fiind inhibata pina la 42 - 63 % fata de grupul martor.

De rind cu scaderea activității diferitor enzime cercetate, s-a determinat micsorarea activității celor mai importante dehidrogenaze anabolice ale ciclului Krebs - malatdehidrogenaza NADP - dependenta și izocitratdehidrogenaza NADP - dependenta în țesuturile parodontale la sobolanii cu parodontita experimentală. Aceasta ne vorbeste despre intensitatea scazuta a proceselor biosintetice din celulele parodontului la sobolanii grupei mentionate. Datele despre inhibarea activității MDG- NADP și ICDG-NADP ,corespund cu datele ce mentioneaza acel proces în țesutul osos la sobolanii cu parodontita modelata prin acidoză metabolică.. Compusul $Zn(CF_3CO_2)_2(\gamma Pic)_2$ contribue la mentinerea activității FA , FAc , -GDG, în țesuturile parodontale la sobolanii cu parodontita, la nivelul martorului în comparatie cu grupa parodontita, unde aceste enzime au fost inhibate de clorura de amoniu. Deasemenea au fost activate - GLD-aza ,ICDG -NADP de catre compusul dat al zincului, cu toate ca activitatea lor nu s-a apropiat de nivelul martorului. Tot odata, compusul mentionat al zincului contribue la activarea neinsemnata a AMP-azei și activarea esentiala a ADA-azei, ARS-azelor A și B , MDG- NADP în țesuturile parodontale în comparatie cu martopru. Schimbarile sus mentionate din

activitatea enzimelor în țesuturile parodontale, la patologia acestora și rolul compusului studiat al zincului în redresarea proceselor metabolice sunt prezентate în tabelul 3. Sub influența compusului $Zn(CF_3CO_2)_2(\gamma Pic)_2$ are loc creșterea veridica a continutului de acid dezoxiribonucleic în țesutul osos al mandibulei sobolanilor cu parodontita experimentală (tabelul 2), fata de sobolanii grupelor parodontita și parodontita + $ZnSO_4 \cdot 7H_2O$; ceea ce indică capacitatea substantei mentionate de a stimula proliferarea celulelor osoase în mandibulele animalelor cu parodontita experimentală. Continutul de calciu și fosfor în țesutul osos al mandibulei în grupa parodontita s-a micsorat respectiv cu 11,3% și 8,6% fata de grupa martor. Sub influența sulfatului de zinc continutul de Ca și P practic nu s-a schimbat în comparație cu grupa parodontita. Noul compus coordinativ al zincului - $Zn(CF_3CO_2)_2(\gamma Pic)_2$ a asigurat menținerea continutului de Ca și P în limite apropiate de grupa martor. Tot odata, în grupa de sobolani carora li s-a administrat substanța $Zn(CF_3CO_2)_2(\gamma Pic)_2$, continutul de calciu și fosfor a fost mai mare decit la sobolanii grupei parodontita + $ZnSO_4 \cdot 7H_2O$ respectiv cu 11,9 % și 18,0 % .

Tabelul 2

Actiunea compusilor zincului asupra continutului de acid dezoxiribonucleic (ADN), calciu, și fosfor în țesutul osos al mandibulei la sobolani albi cu parodontite experimentale

Condițiile experientei	ADN, g/kg țesut osos umed	Ca, g/kg	P, g/kg
Martor	0.49 ± 0.021	230.0 ± 5.41	115.2 ± 4.04
Parodontita	0.31 ± 0.016	203.9 ± 5.30	105.3 ± 2.20
	p<0.001	p<0.05	p>0.05
Parodontita+ $ZnSO_4 \cdot 7H_2O$	0.35 ± 0.017	204.1 ± 4.58	102.2 ± 2.97
	p<0.01	p<0.01	p<0.05
Parodontita+ $Zn(CF_3CO_2)_2(\gamma Pic)_2$	0.43 ± 0.024	228.3 ± 7.72	120.6 ± 6.13
	p ₁ <0.01	p ₁ <0.05	p ₁ <0.05
	p ₂ <0.05	p ₂ <0.05	p ₂ <0.05

Tabelul 3

Influenta compusului $Zn(CF_3CO_2)_2(\gamma Pic)_2$ asupra metabolismului țesuturilor parodontale la sobolanii albi cu parodontita experimentală

Parametrii studiați	Martor	Parodontita	Parodontita $Zn(CF_3CO_2)_2(\gamma Pic)_2$
1	2	3	4
Fosfataza alcalina, mmol/s g proteina	10,92	5,84	11,93
Fosfataza acida, nmol/s g proteina	1394,3	778,3	1433
Adenozin dezaminaza, nmol/s g proteina	1310,9	699,8	2015,6
Adenilat dezaminaza, nmol/s g proteina	183,6	95,3	222,8
Arilsulfataze A și B, nmol/s g proteina	1,64	1,03	2,88
β-Glucuronidaza, nmol/s g proteina	917,9	458	759,1
Malatdehidrogenaza NADP, nmol/s g proteina	115,4	52,5	219,8
Izocitratdehidrogenaza NADP, nmol/s g proteina	1667	829,8	1224,2
A-Glicerofosfatdehidrogenaza, nmol/s g proteina	838,4	353,6	769,8

Tabelul 4

Influenta compusului $Zn(CF_3CO_2)_2(\gamma Pic)_2$ asupra metabolismului ţesutului hepatic la sobolanii albi cu parodontita experimentală

Parametrii studiați	Martor	Parodontita	Parodontita+ $Zn(CF_3CO_2)_2(\gamma Pic)_2$
1	2	3	4
Fosfataza alcalina nmol/s g proteina	63.5 ± 1.75	72.3 ± 4.8	69.3 ± 7.6
		p>0.05	p>0.05
			p>0.05
Fosfataza alcida nmol/s g proteina	1412.5 ± 53.1	1555.3 ± 148.1	1488.3 ± 38.9
		p>0.05	p>0.05
			p ₁ >0.05
Adenozindezaminaza, nmol/s g proteina	213.4 ± 17.2	206.5 ± 21.5	216.6 ± 11.6
		p>0.05	p>0.05
			p ₁ >0.05
Adenilatdezaminaza nmol/s g proteina	185.4 ± 14.0	196.2 ± 17.2	191.3 ± 0.2
		p>0.05	p>0.05
			p ₁ >0.05
Arilsulfatazele A si B	3.42 ± 0.144	4.81 ± 0.263	3.84 ± 0.147
		p<0.01	p>0.05
			p ₁ <0.05
β-Glucuronidaza, nmol/s g proteina	436.7 ± 41.1	600.5 ± 55.6	538.3 ± 53.8
		p<0.05	p>0.05
			p ₁ >0.05
Malatdehidrogenaza NADP,nmol/s g proteina	154.6 ± 18.1	110.5 ± 5.9	195.3 ± 12.2
		p<0.05	p>0.05
			p ₁ >0.05
Izocitratdehidrogenaza NADP,nmol/s g proteina	358.0 ± 16.1	269.7 ± 24.1	439.0 ± 40.4
		p<0.05	p>0.05
			p ₁ <0.05
Glutamatdehidrogenaza, nmol/s g proteina	13.4 ± 2.14	19.2 ± 1.71	13.9 ± 2.01
		p>0.05	p>0.05
			p ₁ >0.05
Lactatdehidrogenaza, nmol/s g proteina	865.3 ± 154.9	646.6 ± 71.2	1427.6 ± 129.2
			p<0.05
			p ₁ <0.001
Glucoza 6fosfatdehidrogenaza nmol/s g proteina	649.3 ± 106.0	799.9 ± 55.3	935.3 ± 75.1
		p>0.05	p>0.05
			p ₁ >0.05
Formaldehydehidrogenaza nmol/s g proteina	234.7 ± 18.5	270.3 ± 11.6	257.4 ± 9.8
		p>0.05	p>0.05
			p ₁ >0.05
Succinatdehidrogenaza mmol/s g proteina	284.0 ± 16.1	317.8 ± 18.6	329.3 ± 9.1
		p>0.05	p<0.05
			p ₁ >0.05

Practic nu s-a schimbat în ţesutul hepatic al sobolanilor grupei parodontita activitatea FA, ADA-azei, AMP-azei. Sub influenta compusului dat al zincului activitatea acestor enzime deasemenea n-a suferit schimbari palpabile. Activitatea ARS- azelor A și B în ficatul sobolanilor grupei parodontita crescuse veridic fata de martor cu 40 %. Administrind substanta $Zn(CF_3CO_2)_2(\gamma Pic)$ obtinem restabilirea parciala veridica a activitatii acestei enzime.

Activitatea - GLD-azei veridic sporise în grupa parodontita cu 37 % fata de control . Sub influenta compusului zincului are loc tendinta de inhibare a activitatii acestei enzime cu 14 %. Acelas efect a avut loc și fata de GDG . Sub influenta compusului studiat al zincului civitatea acestei enzime s-a micsorat cu 40 % fata de grupa parodontita, unde activitatea ei era mai mare cu 43 % fata de martor. Activitatea FDDG și FAc a avut tendinta de creștere în grupa parodontita cu respectiv 15 % și 10 % . Substanta $Zn(CF_3CO_2)_2(\gamma Pic)_2$ a contribuit la tendinta de restabilire neinsemnata a activitatii acestor enzime. Activitatea Gl.6 FDG și SDG a avut tendinta de creștere în grupa parodontita cu respectiv 23 % și 12 % fata de martor. Compusul zincului studiat, a contribuit la tendinta de creștere a activitatii Gl.6 FDG și practic n- a influentat asupra activitatii SDG . In grupa parodontita activitatea MDG - NADP și ICDG - NADP s-a micsorat veridic cu respectiv 28 % și 25 %, iar activitatea LDG a avut tendinta de micsorare cu %, fata de martor. Sub influenta compusului $Zn(CF_3CO_2)_2(\gamma Pic)_2$ activitatea lor a crescut esential atit fata de grupa parodontita, cit și fata de martor.

Analizind activitatea enzimelor în splina (tabelul 5.), s-a constatat, ca schimbarile în activitatea FA , ADA-azei , ICDG - NADP , LDG , Gl.6 FDG , SDG , la sobolanii grupei parodontita sint neinsemnate.

Compusul $Zn(CF_3CO_2)_2(\gamma Pic)_2$ de asemenea puțin a influentat asupra enzimelor mentionate , în sensul sporirii activitatii lor. Sporirea veridica a activitatii FAc și MDG - NADP cu 31 % în grupa parodontita fata de martor, a fost insotita în urma influentei compusului mentionat al zincului, de restabilirea deplina și veridica a activitatii FAc, și de tendinta de restabilire parciala a activitatii MDH - NADP . În splina sobolanilor grupei parodontita a crescut considerabil, cu 132 % , activitatea GDG fata de grupul martor. Compusul studiat al zincului a contribuit la restabilirea vadita a acestei enzime. Activitatea ARS - azelor A și B , FDDG , AMF - azei a avut tendinta de creștere în grupa parodontita fata de martor. Compusul $Zn(CF_3CO_2)_2(\gamma Pic)_2$ a influentat neinsemnat asupra activitatii lor. În grupa parodontita veridic s-a micsorat activitatea GLD - azei, cu 28 % fata de control. Compusul zincului a contribuit la sporirea veridica a activitatii acestei enzime cu 33 % fata de martor.

Concluzii

Rezultatele cercetarilor expuse permit a constata, ca dereglarea corelatiilor fiziologice intre procesele de formare și resorbție a ţesutului osos al apofizelor alveolare , prezenta la sobolanii carora li se modeleaza parodontita experimentală, este diminuata sub influenta noului compus coordinativ al zincului $Zn(CF_3CO_2)_2(\gamma Pic)_2$. Sub influenta acestui compus are loc normalizarea sau tendinta de normalizare a activitatii principalelor enzime din parodont și alte ţesuturi, ceea ce indica o ameliorare a starii functionale a acestor ţesuturi ca urmare a mai bune corectii integrale a metabolismului. Tot odata, compusul cercetat al zincului a contribuit la creșterea gradului de mineralizare a ţesutului osos al mandibulei.

Tabelul 5

Influenta compusului asupra metabolizmului tesuturilor splinei la sobolani albi cu parodontita experimentală

Parametrii studiați	Martor	Parodontita	Parodontita+ $Zn(CF_3CO_2)_2(\gamma Pic)_2$
1	2	3	4
Fosfataza alcalina nmol/s g proteina	392.2 ± 67.8	422.6 ± 37.0	446.4 ± 66.3
		$p>0.05$	$p>0.05$
			$p_1>0.05$
Fosfataza alcida nmol/s g proteina	2818.6 ± 132.3	3697.5 ± 158.7	2825.8 ± 198.1
		$p<0.01$	$p>0.05$
			$p<0.05$
Adenozindezaminaza, nmol/s g proteina	681.2 ± 28.8	640.9 ± 30.9	721.9 ± 52.3
		$p>0.05$	$p>0.05$
			$p_1<0.05$
Adenilatdezaminaza nmol/s g proteina	447.5 ± 35.4	530.2 ± 37.2	560.4 ± 76.0
			$p>0.05$
			$p_1>0.05$
Arilsulfatazele A si B nmol/s g proteina	9.12 ± 0.46	10.58 ± 0.83	10.04 ± 0.68
			$p>0.05$
			$p_1>0.05$
β -Glucuronidaza, nmol/s g proteina	503.6 ± 26.6	364.6 ± 30.5	670.5 ± 44.9
		$p<0.01$	$p<0.05$
			$p<0.001$
Malatdehidrogenaza NADP,nmol/s g proteina	351.8 ± 12.7	461.1 ± 22.3	386.7 ± 25.2
		$p<0.01$	$p>0.05$
			$p_1>0.05$
Izocitratdehidrogenaza NADP,nmol/s g proteina	607.3 ± 18.8	670.3 ± 34.8	693.2 ± 29.8
		$p>0.05$	$p<0.05$
			$p_1>0.05$
Glutamatdehidrogenaza, nmol/s g proteina	71.0 ± 10.7	164.5 ± 18.3	60.5 ± 11.1
		$p<0.01$	$p>0.05$
			$p_1<0.01$
Lactatdehidrogenaza, nmol/s g proteina	3071.1 ± 97.2	3206.6 ± 190.0	3353.7 ± 182.4
		$p>0.05$	$p>0.05$
			$p_1>0.05$
Glucoza 6fosfatdehidrogenaza nmol/s g proteina	1078.0 ± 30.7	1102.1 ± 68.0	1168.2 ± 63.0
		$p>0.05$	$p>0.05$
			$p_1>0.05$
Formaldehydehidrogenaza nmol/s g proteina	45.7 ± 1.78	55.0 ± 6.91	53.7 ± 2.99
			$p<0.05$
			$p_1>0.05$
Succinatdehidrogenaza mmol/s g proteina	51.9 ± 3.4	49.6 ± 3.5	59.0 ± 4.8
		$p>0.05$	$p>0.05$
			$p_1>0.05$

Bibliografie

1. Авторское свидетельство 1399807 G09B23/28, Способ моделирования пародонтита. / Пахомова Б.А.;
2. Aductul trifluoracetatului de Zn cu γ -pic./GuleaA. Novitkii Gh. Granciu Gh.
3. Granciu Gh. Gudumac V. Metoda de inducere a paradontitei./Brevet de inv.5388

INFLUENTA COMPUSLOR COORDINATIVI AI ZINCULUI LA REGENERAREA TESUTURILOR PARODONTALE SI OSOASE (cercetare experimentală)

Gh. Granciu

Catedra de protetica dentara si ortodontie

Summary

The influence of coordinative compounds of Zn at the regeneration of periodontal tissues and bone

The research is based on the results made on 217 white rats. The experiments have permitted to find out the most efficient coordinative Zn compounds which are involved in regenerative processes in periodontium and bones. The most effective was adduct of trifluoracetate Zn with γ -picoline. A model of implants osteointegration was presented. The results were made through biochemical, histochemical morphological and radioisotopic methods.

Rezumat

Cercetarea se bazeaza pe rezultatele obtinute din analiza experimentală a 217 de rățuși de laborator. Experiențele au permis elucidarea celui mai eficient compus coordinativ al zincului implicat în procesele de regenerare din parodont și oase. Drept cel mai eficient s-a dovedit aductul trifluoracetatului de Zn cu γ -picolina. A fost prezentat un model de osteointegrare a implantului sub influența compusului. Rezultatele au fost obținute prin analize biochimice, histochimice, morfologice și radioisotopografice.

Aplicarea remediilor terapeutice de ameliorare a stării funcționale a tesuturilor parodontale (1-9) este o direcție actuală a cercetărilor științifice în parodontologie și implantologie.

Scopul studiului dat constă în cercetarea acțiunii unor compuse coordinativi ai zincului asupra proceselor regenerative din tesuturile parodontale și osoase în experiență și argumentarea caracterului tempestiv și util al folosirii lor în parodontologie.

Pentru realizarea scopului indicat au fost trase urmatoarele **sarcini**:

1. A elabora un model experimental de cercetare a proceselor osteoregenerative, care ar permite de a obiectiviza rezultatele cercetărilor efectuate și de a perfectiona procedeele deja cunoscute de estimare a indicilor atrofiei apofizelor alveolare.

2. A efectua cercetări de experiment privind examinarea influenței unei grupe de compuse ai zincului asupra proceselor osteoregenerative și evidențierea celui mai activ, aprecierea dozei optimale de administrare a lui în condiții normale.

A aprecia cu ajutorul metodelor histomorfologice și histochimice mecanismele acțiunii celui mai activ compus coordinativ al zincului la procesele regenerative din tesuturile parodontale, în cazul patologiei acestora.

3. A studia influența celui mai activ compus ai zincului la procesele regenerative în mandibula.

4. A efectua estimarea complexă multilaterală a influenței compusului coordinativ al zincului asupra proceselor regenerative din tesuturile parodontale și osoase în condiții normale.

5. A cerceta eficiența utilizării compusului coordinativ al zincului asupra unor parametri biochimici al metabolismului intermediar din tesutul osos.